

Feuilletages et difféomorphismes infiniment tangents à l'identité

F. Sergeraert

Département de Mathématiques, Faculté des Sciences, F-86022 Poitiers, France

1. Introduction

On connaît le rôle joué par l'holonomie en matière de feuilletages. Soit G le groupe des germes de C^∞ -difféomorphismes de \mathbb{R} en O . Si F est une feuille d'un C^∞ -feuilletage \mathcal{F} de codimension 1 d'une C^∞ -variété, et si $x_0 \in F$, alors l'holonomie de \mathcal{F} en x_0 est un homomorphisme de groupes $H: \pi_1(F, x_0) \rightarrow G$ qui, dans une certaine mesure, décrit \mathcal{F} au voisinage de F . D'où l'intérêt particulier que présente l'étude des propriétés algébriques des éléments de G . On démontre dans cet article deux telles propriétés.

Soient G_x le sous-groupe de G constitué des germes infiniment tangents à l'identité en x , G' l'ensemble des éléments de G admettant 0 comme seul point fixe dans un voisinage de 0, et $G'_x = G' \cap G_x$. Soit $g \in G'_x$; le théorème 3.1 donne une condition suffisante pour que g puisse être plongé dans un sous-groupe à un paramètre de G . La condition exprime que g «n'oscille pas trop» (voir la figure qui accompagne 3.1). Une telle condition est bien indispensable puisque dans le §4 on donne un exemple de $g \in G'_x$ qui n'est pas un carré et qui donc n'est pas plongeable dans un groupe à un paramètre. Le cas de $g \in G' - G'_x$ avait été traité précédemment par Sternberg [10] et Takens [12]; ils avaient montré qu'un tel g est toujours plongeable dans un groupe à un paramètre. Si $g \in G - G'$, l'existence arbitrairement proche de 0 d'autres points fixes que 0 donne lieu à d'autres obstructions au plongement dans un groupe à un paramètre; ces obstructions ne sont pas étudiées ici (voir N. Kopell [2], Mather [5]).

Indépendamment de son intérêt propre, l'étude du plongement dans un groupe à un paramètre des éléments de G'_x est motivée par un résultat de Mather [5] caractérisant la classe de conjugaison de certains difféomorphismes à support compact de \mathbb{R} . Soit $f: \mathbb{R} \rightarrow \mathbb{R}$ un C^∞ -difféomorphisme tel que pour des $a, b \in \mathbb{R}$, $a < b$, on ait $f(x) = x$ si $x \notin]a, b[$, et $f(x) > x$ si $x \in]a, b[$; on suppose de plus que le germe f_a de f en a est engendré par un C^∞ -champ de vecteurs ξ_a ; de même le germe f_b est engendré par ξ_b . Mather construit alors un difféomorphisme du cercle $\phi(f) \in \text{Diff}^\infty(S^1)$ tel que la classe de conjugaison de f est caractérisée par $\phi(f)$ et les classes de conjugaison de ξ_a et ξ_b . Dès lors, la

question de l'existence de ξ_a et ξ_b pour tout f se posait naturellement. La réponse est donc négative. Notons qu'il y a correspondance canonique entre les classes de conjugaison de C^∞ -difféomorphismes à support compact de \mathbb{R} et les classes d'isomorphismes de C^∞ -feuilletages de $S^1 \times \mathbb{R}$ de codimension 1, transverses à chaque $\{t\} \times \mathbb{R}$ et tels que, si $|t|$ est assez grand, $S^1 \times \{t\}$ soit une feuille.

Le théorème 5.2 affirme que le groupe G_∞ est parfait. Une conséquence de ce résultat est la réponse positive à la question posée par Rosenberg et Thurston [8] de la nullité de la classe de cobordisme des feuilletages de Reeb de S^3 . Il en résulte aussi que l'élément de $\pi_3(B\Gamma_1^\infty)$ représenté par tout feuilletage de Reeb est nul. Autrement dit tout feuilletage de Reeb de S^3 peut se prolonger en une Γ_1^∞ -structure de D^4 .

Une autre interprétation de la même conséquence est la suivante. Soit $\text{Diff}_{K,\delta}^\infty(\mathbb{R})$ le groupe des C^∞ -difféomorphismes de \mathbb{R} à support compact, muni de la topologie discrète. Si $g, h \in \text{Diff}_{K,\delta}^\infty(\mathbb{R})$ ont leur support dans $] -\infty, 0]$ et dans $[0, +\infty[$ respectivement, alors le 2-cycle d'Eilenberg-MacLane $[g|h] - [h|g]$ a une classe d'homologie nulle. Le théorème 5.2 est ainsi un modeste progrès dans l'évaluation de $H_2(\text{Diff}_{K,\delta}^\infty(\mathbb{R})) = H_3(B\Gamma_1^\infty) = \pi_3(B\Gamma_1^\infty)$ (Mather [4]).

Pour démontrer le théorème 5.2 on utilise certains résultats intermédiaires de la démonstration du théorème 3.1.

2. Plongement d'une C^∞ -contraction dans un groupe a un paramètre de classe C^1

Le but de ce paragraphe est de montrer le théorème 2.2.

2.1. *Définition.* Soit ξ un germe de champ de vecteurs en $0 \in \mathbb{R}$.

On peut identifier ξ à un germe de fonction numérique. Supposons de plus que $\xi(0) = 0$. Alors e^ξ est le germe de difféomorphisme défini par :

$$\begin{cases} e^\xi(x) = F(1, x), \\ \frac{\partial F}{\partial t}(t, x) = \xi(F(t, x)), \\ F(0, x) = x \end{cases}$$

où, pour un t donné, x est assez petit.

2.2. Théorème. Soit $f \in G'$. Alors il existe un unique germe de champ de vecteurs ξ de classe C^1 tel que $e^\xi = f$.

Ce théorème est dû à Szekeres [11]. On le redémontre afin de donner quelques notations et quelques formules utiles pour la suite.

Supposons maintenant que f soit un C^∞ -difféomorphisme $f: [0, \varepsilon[\rightarrow [0, \varepsilon[$ tel que $f(x) < x$ si $x > 0$.

2.3. *Notations.* Pour tout symbole x , on notera $\Delta x = x - f(x)$, $x_0 = x$, $x_i = f(x_{i-1})$. Par définition :

$$\begin{cases} \phi(x) = -f''(x)/f'(x), \\ g^{(q)}(x) = \text{dérivée } q^{\text{ième}} \text{ de } g \text{ en } x, \\ g_q(x) = \sup_{0 \leq y \leq x} |g^{(q)}(y)|. \end{cases}$$

2.4. *Quelques formules.* La formule de Taylor à l'ordre 2 permet d'écrire:

$$f(f(x)) - f(x) = (f(x) - x) \cdot f'(x) + \left[\int_0^1 (1-t) f''(x + t(f(x) - x)) dt \right] (f(x) - x)^2$$

ou:

$$\Delta x_1 = \Delta x_0 f'(x_0) + \varepsilon(x_0) \Delta x_0^2$$

si:

$$\varepsilon(x) = - \int_0^1 (1-t) f''(x - t \Delta x) dt;$$

donc:

$$|\varepsilon(x)| \leq f_2(x)/2.$$

Ainsi:

$$f'(x) = \frac{\Delta x_1}{\Delta x_0} - \varepsilon(x) \Delta x.$$

Si on fait tendre x vers 0, on voit que:

$$\lim_{x \rightarrow 0} \frac{\Delta x_1}{\Delta x_0} = f'(0).$$

Puis:

$$f'(x_0) = \frac{\Delta x_1}{\Delta x_0} \left[1 - \varepsilon(x_0) \frac{\Delta x_0^2}{\Delta x_1} \right]$$

et donc

$$f'(x_0) \dots f'(x_{n-1}) = \frac{\Delta x_n}{\Delta x_0} \prod_{i=0}^{n-1} \left[1 - \varepsilon(x_i) \frac{\Delta x_i^2}{\Delta x_{i+1}} \right].$$

Remarquons que la série

$$\sum_{i=0}^{\infty} \left| \varepsilon(x_i) \frac{\Delta x_i^2}{\Delta x_{i+1}} \right|$$

est convergente (car $\sum \Delta x_i = x$) et donc aussi le produit infini:

$$\prod_{i=0}^{\infty} \left[1 - \varepsilon(x_i) \frac{\Delta x_i^2}{\Delta x_{i+1}} \right]$$

et encore la série

$$\sum_{i \geq 0} f'(x_0) \dots f'(x_{i-1}) = O(x/\Delta x)$$

pour $x > 0$. Si $f'(0) < 1$, elle est même uniformément convergente sur tout compact de $[0, \varepsilon[$, mais si $f'(0) = 1$, elle diverge en 0.

2.5. Lemme. *La fonction*

$$K(x, y) = \prod_{i=0}^{\infty} \frac{f'(y_i)}{f'(x_i)} \quad (x, y \in]0, \varepsilon[)$$

est définie et de classe C^1 . De plus, si $f'(0) < 1$, le même résultat vaut pour $x, y \in [0, \varepsilon[$.

Démonstration. Posons:

$$\begin{cases} K_0(x, y) = \sum_{i \geq 0} \log f'(y_i) - \log f'(x_i), \\ K_1(x, y) = \sum_{i \geq 0} \phi(x_i) f'(x_{i-1}) \dots f'(x_0). \end{cases}$$

La série K_1 est obtenue en dérivant terme à terme par rapport à x la série K_0 (voir notations 2.3). Puisque $f'(x_{i-1}) \dots f'(x_0) = O(\Delta x_i / \Delta x)$ et que $\sum \Delta x_i = x$, on voit que la série K_1 est localement uniformément convergente.

Le théorème classique d'intégration terme à terme et le fait que la série K_0 converge pour $x = y$ prouvent que K_0 est de classe C^1 pour $x, y > 0$. Donc $K = \exp(K_0)$ est aussi de classe C^1 pour $x, y > 0$.

Si $f'(0) < 1$, la série K_1 converge uniformément sur tout compact de $[0, \varepsilon[$. On conclut de la même façon.

2.6. Lemme. *Supposons que $f'(0) = 1$. Soit $a \in]0, \varepsilon[$ fixé. Une condition nécessaire pour que ξ , germe C^1 de champ de vecteurs, vérifie $f = e^\xi$ est qu'il existe $\rho \in \mathbb{R} - \{0\}$ tel que $\xi(x) = \rho K(x, a)$. Un tel ρ est unique.*

Démonstration. Si F est l'intégrale d'un tel ξ , c'est-à-dire si:

$$\begin{cases} \frac{\partial F}{\partial t}(t, x) = \xi(F(t, x)), \\ F(0, x) = x, \\ F(1, x) = f(x). \end{cases}$$

alors, pour chaque t le germe de difféomorphisme $x \mapsto F(t, x)$ commute avec f . Le lemme de N. Kopell [2] permet donc d'affirmer:

$$\frac{\partial F}{\partial x}(t, x) = K(F(t, x), x).$$

En calculant $\frac{\partial^2 F}{\partial t \partial x}$ de deux façons, il vient:

$$\xi'(F(t, x)) \frac{\partial F}{\partial x}(t, x) = \frac{\partial K}{\partial x}(F(t, x), x) \frac{\partial F}{\partial t}(t, x)$$

ou:

$$\xi'(F(t, x)) K(F(t, x), x) = \frac{\partial K}{\partial x}(F(t, x), x) \xi(F(t, x)).$$

Pour $t = 0$, cette relation s'écrit:

$$\xi'(x) = K_1(x, x) \xi(x).$$

C'est une équation différentielle linéaire. L'existence de ρ sera prouvée si $\xi(x) = K(x, a)$ est solution; il faut voir que $K_1(x, a) = K_1(x, x)$; mais $K_1(x, y)$ ne dépend pas de y !

2.7. Lemme. *Supposons que $f'(0) < 1$. Une condition nécessaire pour que ξ , germe C^1 de champ de vecteurs vérifie $f = e^\xi$ est que:*

$$\xi(x) = \log f'(0) \int_0^x K(x, t) dt.$$

Démonstration. On ne peut plus appliquer le lemme de N. Kopell qui suppose $f'(0) = 1$. Cependant le même calcul qu'en [2] prouve cette fois que:

$$\frac{\partial F}{\partial x}(t, x) = \frac{\partial F}{\partial x}(t, 0) K(F(t, x), x)$$

En procédant comme pour la démonstration du lemme 2.6, on trouve maintenant que ξ doit vérifier l'équation:

$$\xi'(x) - K_1(x, x) \xi(x) = \xi'(0).$$

Cette fois K, K_0, K_1 sont définis même en 0. Nécessairement $\xi(0) = 0, \xi'(0) = \log f'(0)$. La méthode d'intégration par «variation de la constante» conduit à chercher $\xi(x)$ sous la forme $C(x) K(x, a)$. On trouve ensuite que

$$C(x) = \log f'(0) \int_0^x K(a, t) dt$$

d'où le résultat.

2.8. Définition. $\xi(x)$ est désormais la fonction définie par le lemme 2.6 ou le lemme 2.7 selon que $f'(0) = 1$ ou < 1 .

2.9. Lemme. *Si $f'(0) = 1$, alors $\xi(x) \sim -\Delta x$ quand $x \rightarrow 0$.*

Démonstration.

$$\begin{aligned} K(x, a) &= \lim_{n \rightarrow \infty} \prod_{i=0}^{n-1} \frac{f'(a_i)}{f'(x_i)} \\ &= \lim_{n \rightarrow \infty} \frac{\left(\frac{\Delta a_n}{\Delta a}\right)^{n-1} \frac{1 + \varepsilon(a_i)}{\Delta a_{i+1}} \frac{\Delta a_i^2}{\Delta a_{i+1}}}{\left(\frac{\Delta x_n}{\Delta x}\right)^{n-1} \frac{1 + \varepsilon(x_i)}{\Delta x_{i+1}} \frac{\Delta x_i^2}{\Delta x_{i+1}}} \end{aligned}$$

Montrons que $\lim \Delta a_n / \Delta x_n = 1$. Supposons pour fixer les idées que $a \geq x$. Si $x = a_p$, alors $\Delta a_n / \Delta a_{n+p} \sim f'(a_n) \dots f'(a_{n+p-1}) \sim 1$.

Sinon, soit p tel que $a_{p+1} < x < a_p$. Il suffit de montrer que $\lim_{n \rightarrow \infty} \Delta a_{n+p} / \Delta x_n = 1$. Mais

$$\frac{\Delta a_{n+p}}{\Delta x_n} = \frac{(x_n - a_{n+p+1}) + (a_{n+p} - x_n)}{(x_n - a_{n+p+1}) + (a_{n+p+1} - x_{n+1})}$$

Or $(a_{n+p} - x_n)/(a_{n+p+1} - x_{n+1}) \rightarrow 1$ par le même argument que celui qui montrait $\Delta x_1/\Delta x_0 \rightarrow f'(0)$ (cf. 2.4).

Donc :

$$\frac{K(x, a)}{\Delta x} = \frac{1}{\Delta a} \prod_{i=0}^{\infty} \frac{1 + \varepsilon(a_i) \frac{\Delta a_i^2}{\Delta a_{i+1}}}{1 + \varepsilon(x_i) \frac{\Delta x_i^2}{\Delta x_{i+1}}}$$

où le produit infini est uniformément convergent sur tout compact de $[0, \varepsilon[$.
Donc $\xi(x) \sim -\mu \Delta x$ avec $\mu > 0$. Posons $\xi(x) = -\mu(x) \Delta x$ avec $\lim_{x \rightarrow 0} \mu(x) = \mu$. Alors :

$$\begin{aligned} \frac{1}{\mu(x)} &= -\frac{\Delta x}{\xi(x)} = \frac{1}{\xi(x)} \int_0^1 \frac{\partial F}{\partial t}(t, x) dt = \int_0^1 \frac{\xi(F(t, x))}{\xi(x)} dt \\ &= \int_0^1 \frac{\mu(F(t, x))}{\mu(x)} \frac{\Delta(F(t, x))}{\Delta x} dt. \end{aligned}$$

Mais, si $x \rightarrow 0$, les deux rapports sous le signe somme tendent uniformément vers 1. Donc $\mu = 1$.

2.10. Remarque. On peut donc poser $\xi(x) = -\mu(x) \Delta x$ avec $\mu(0) = 1$. L'équation fonctionnelle $\xi(f(x)) = f'(x) \xi(x)$ implique que :

$$\begin{aligned} \mu(x) &= \frac{\Delta x_1}{\Delta x_0 f'(x_0)} \mu(x_1) = \frac{\Delta x_2}{\Delta x_0 f'(x_0) f'(x_1)} \mu(x_2) = \dots \\ &= \lim_{n \rightarrow \infty} \frac{\Delta x_n}{\Delta x_0} \prod_{i=0}^{n-1} 1/f'(x_i). \end{aligned}$$

D'où :

$$\xi(x) = - \lim_{n \rightarrow \infty} \Delta x_n \prod_{i=0}^{n-1} 1/f'(x_i).$$

2.11. Corollaire. ξ est de classe C^1 sur $[0, \varepsilon[$.

Démonstration. Si $f'(0) < 1$, ceci résulte de la définition de ξ . Si $f'(0) = 1$, on sait déjà par le lemme 2.5 que $\xi(x)$ est C^1 pour $x > 0$. Mais :

$$\begin{aligned} \xi'(x) &= \rho \frac{\partial K}{\partial x}(x, a) = \rho K_1(x, a) K(x, a) \\ &= \rho \sum_{i \geq 0} \phi(x_i) f'(x_{i-1}) \dots f'(x_0) K(x, a) = \rho \sum_{i \geq 0} \phi(x_i) K(x_i, a) \\ &= \sum_{i \geq 0} \phi(x_i) \xi(x_i). \end{aligned}$$

Il résulte de cette expression que $|\xi'(x)| = O(x f_2(x))$.

2.12. Lemme. $f = e^\xi$.

Démonstration. Si $f'(0) = 1$, il est évident que $f'(x) = \xi(f(x))/\xi(x)$. C'est vrai aussi si $f'(0) < 1$, car alors :

$$\begin{aligned} \xi(f(x))/\xi(x) &= \int_0^{f(x)} K(f(x), t) dt / \int_0^x K(x, t) dt \\ &= \int_0^x K(f(x), f(u)) f'(u) du / \int_0^x K(x, t) dt = f'(x). \end{aligned}$$

Dans l'un ou l'autre cas, soit $F(t, x)$ l'intégrale de ξ ; puisque $\xi(x) < 0$ quand $x > 0$, on voit que pour un $t_0 > 0$, $F(t_0, a) = f(a)$. Par ailleurs on sait que tout germe $g: x \mapsto F(t, x)$ vérifie l'équation différentielle $g'(x) = \xi(g(x))/\xi(x)$; or f et $x \mapsto F(t_0, x)$ vérifient cette même équation différentielle avec la même condition initiale en a . Donc $f(x) = F(t_0, x)$. Si $t_0 \neq 1$, c'est que $f = e^{t_0 \xi}$, mais ceci est impossible (lemmes 2.6, 2.7). Donc $t_0 = 1$ et $f = e^\xi$.

2.13. Démonstration du théorème 2.2. Elle résulte des lemmes 2.6, 2.7 et 2.12. Il faut dire un mot du fait que, dans l'énoncé du théorème 2.2, $f \in G'$ et donc est aussi définie pour $x < 0$ assez petit. Si $f'(0) \neq 1$, la définition de ξ par le lemme 2.7 a le même domaine de définition que celui de f , car alors K, K_0, K_1 ont aussi ce même domaine de définition. Si $f'(0) = 1$, on fait le travail d'abord pour $x \geq 0$, puis pour $x \leq 0$; il n'y a pas de problème de recollement, puisque, d'un côté ou de l'autre, $\xi(0) = \xi'(0) = 0$. Si f n'était pas une contraction, il suffirait de changer (au besoin d'un seul côté) f en f^{-1} .

3. Plongement d'un élément de G'_∞ dans un groupe à un paramètre

On suppose dans ce paragraphe que $f: [0, \varepsilon[\rightarrow [0, \varepsilon'[$ est un C^∞ -difféomorphisme contractant et infiniment tangent à l'identité en 0; autrement dit, d'une part, si $x > 0$, alors $f(x) < x$, et d'autre part :

$$\begin{cases} f^{(q)}(0) = 0 & \text{si } q \neq 1, \\ f'(0) = 1. \end{cases}$$

Les notations 2.3 restent valables. De plus, on note :

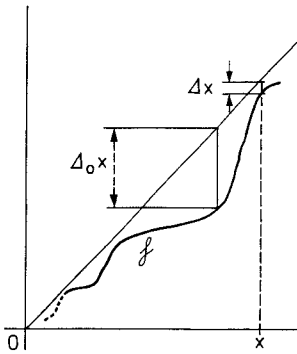
$$\Delta_0 x = \sup_{0 \leq y \leq x} \Delta y.$$

Dans tout ce paragraphe, ξ est le champ de vecteurs associé à f par le théorème 2.2.

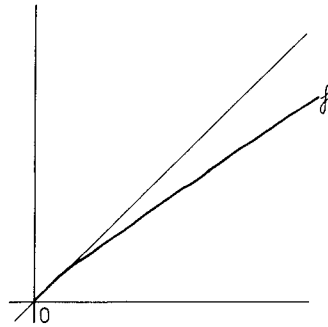
3.1. Théorème. ξ est de classe C^∞ sur $]0, \varepsilon[$. De plus, si

$$\Delta_0 x = O(\Delta x^{1-\alpha})$$

avec $\alpha < 1/r$ pour un entier $r \geq 2$, alors ξ est de classe C^r en 0. En particulier, si $\Delta_0 x = O(\Delta x)$, alors ξ est de classe C^∞ sur $[0, \varepsilon[$. C'est le cas si la fonction $x \mapsto \Delta x$ est monotone.



Mauvais f : $\Delta_0 x \approx \Delta x$



Bon f : $\Delta_0 x \gg \Delta x$

3.2. Lemme. *Il existe des constantes $\alpha_{p,q,r} \in \mathbb{R}_+$, pour $p \leq q \leq r$ entiers, telles que si $g \in C^\infty([0, \varepsilon[)$ est ∞ -plate en 0 (i.e. $g^{(n)}(0) = 0$ pour tout n), alors :*

$$g_q(x) \leq \alpha_{p,q,r} [g_p(x)]^{\frac{r-q}{r-p}} [g_r(x)]^{\frac{q-p}{r-p}}$$

(voir notations 2.3).

Démonstration. Notons

$$\bar{g}_p = \sum_{i=0}^p g_i.$$

On sait, par l'inégalité d'Hadamard (pour une démonstration très conceptuelle, voir [9], théorème 2.2.2), que

$$\bar{g}_q(1) \leq \beta_{p,q,r} [\bar{g}_p(1)]^{\frac{r-q}{r-p}} [\bar{g}_r(1)]^{\frac{q-p}{r-p}}$$

Si $x > 0$, posons $h(y) = g(xy)$; en appliquant la relation précédente à h , il vient :

$$x^q g_q(x) \leq \beta_{p,q,r} \left[\sum_{i=0}^p x^i g_i(x) \right]^{\frac{r-q}{r-p}} \left[\sum_{i=0}^r x^i g_i(x) \right]^{\frac{q-p}{r-p}}.$$

Mais, comme g est ∞ -plate en 0 :

$$g_i(x) \leq \frac{x^{j-i}}{(j-i)!} g_j(x) \quad \text{si } j \geq i.$$

La majoration de $x^q g_q(x)$ peut donc s'écrire :

$$x^q g_q(x) \leq 3 \beta_{p,q,r} [x^p g_p(x)]^{\frac{r-q}{r-p}} [x^r g_r(x)]^{\frac{q-p}{r-p}}.$$

3.3. Lemme. *Soit $g \in C^\infty([0, \varepsilon[)$ ∞ -plate en 0. Alors, pour tout $n \in \mathbb{N}$ et pour tout $\eta > 0$,*

$$g_n(x) = O(g_0(x)^{1-\eta}).$$

Démonstration. Soit $m \geq n$. Le lemme 3.2 implique que :

$$g_n(x) = O(g_0(x)^{1-\frac{n}{m}} g_m(x)^{\frac{n}{m}}) = O(g_0(x)^{1-\frac{n}{m}}).$$

3.4. Corollaire. Pour tout entier n et tout $\eta > 0$,

$$\phi_n(x) = O(\Delta_0 x^{1-\eta}) \quad (\text{notations 2.3}).$$

Démonstration. Le lemme 3.3 appliqué à $f(x) - x$ implique que :

$$f_2(x) = O(\Delta_0 x^{1-\eta}).$$

On a donc :

$$\phi_0(x) = O(\Delta_0 x^{1-\eta})$$

et on applique à nouveau le lemme 3.3 à ϕ .

3.5. Notation. On note $\mu_n(x) = \xi^{(n)}(x) [\xi(x)]^{n-1}$, chaque fois que cette quantité est définie.

3.6. Lemme. Il existe des constantes entières $C_{\alpha_1, \dots, \alpha_{n-1}}$ et $D_{q, \alpha_1, \dots, \alpha_{n-1}}$ telles que :

$$\begin{aligned} \mu_n(x) + \sum_{\alpha_1 + 2\alpha_2 + \dots + (n-1)\alpha_{n-1} = n} C_{\alpha_1, \dots, \alpha_{n-1}} [\mu_1(x)]^{\alpha_1} \dots [\mu_{n-1}(x)]^{\alpha_{n-1}} \\ = \sum_{i \geq 0} \xi(x_i) \sum_{q=0}^{n-1} \phi^{(q)}(x_i) [\xi(x_i)]^q \\ \cdot \sum_{\alpha_1 + \dots + (n-1)\alpha_{n-1} = n-q-1} D_{q, \alpha_1, \dots, \alpha_{n-1}} [\mu_1(x_i)]^{\alpha_1} \dots [\mu_{n-1}(x_i)]^{\alpha_{n-1}}. \end{aligned}$$

De plus, $|\mu_n(x)| = O(\Delta_0 x^{n-\eta})$ pour tout réel $\eta > 0$.

Démonstration. Par récurrence sur n . Le lemme est déjà montré pour $n=1$ (corollaire 2.11). Le calcul formel de μ_n connaissant μ_{n-1} résulte des relations :

$$\left| \begin{aligned} \frac{dx_i}{dx} &= \frac{\xi(x_i)}{\xi(x)}, \\ \xi'(x) &= \mu_1(x), \\ \mu'_n(x) \xi(x) &= \mu_{n+1}(x) + (n-1) \mu_n(x) \mu_1(x). \end{aligned} \right.$$

La dérivation terme à terme est justifiée, car la série du second membre est uniformément convergente, grâce à l'hypothèse de récurrence, et à $|\xi(x)| = O(\Delta x)$.

Enfin la relation $\mu_n(x) = O(\Delta_0 x^{n-\eta})$ résulte de l'hypothèse de récurrence, de $|\phi^{(q)}(x)| = O(\Delta_0 x^{1-\eta})$ et de $|\xi(x)| = O(\Delta x)$.

3.7. Démonstration du théorème 3.1. D'abord, pour $x > 0$, $\xi^{(n)}(x) = \mu_n(x) / [\xi(x)]^{n-1}$ est défini. Ainsi ξ est de classe C^∞ sur $]0, \varepsilon[$.

Ensuite, si $\Delta_0 x = O(\Delta x^{1-\alpha})$ avec $\alpha < 1/r$, on voit que :

$$|\xi^{(n)}(x)| = O(\Delta x^{1-\alpha n - (1-\alpha)\eta})$$

pour tout $\eta > 0$. Donc $\lim_{n \rightarrow 0} \xi^{(n)}(x) = 0$ si $n \leq r$.

3.8. *Remarque.* On verra au §4 qu'il faut bien imposer à f , contractante et ∞ -tangente à l'identité en 0, une condition supplémentaire pour assurer que $\xi \in C^\infty([0, \varepsilon[)$. Par contre, il résulte de Sternberg [10] et Takens [12] que si f n'a pas un contact d'ordre infini avec l'identité en 0, alors nécessairement $\xi \in C^\infty([0, \varepsilon[)$. On pourrait penser qu'une démonstration analogue à celle qui est donnée pour le théorème 3.1 s'applique au cas non ∞ -plat. Malheureusement il ne semble pas que ce soit le cas.

Supposons en effet que $f(x) = x - \alpha x^r + o(x^r)$ avec $\alpha > 0$. Le même plan de démonstration donne alors les majorations:

$$|\mu_n(x)| = O(x^{n(r-1)}),$$

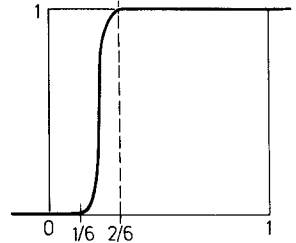
$$|\xi^{(n)}(x)| = O(x^{r-n})$$

qui sont insuffisantes. On aura pourtant l'occasion d'utiliser la dernière dans le §5.

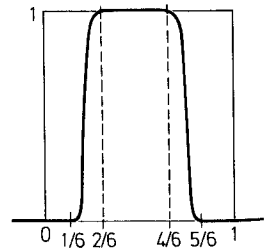
4. Un élément de G_∞ peut ne pas être un carré

On définit d'abord trois fonctions C^∞ qui serviront dans la construction du contre-exemple. Soient:

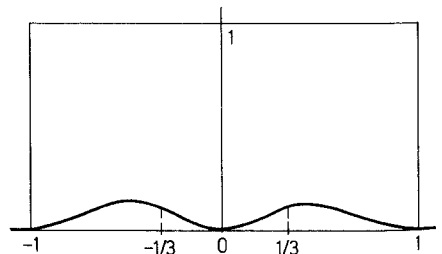
$$\alpha(x) \begin{cases} = 0 & \text{si } x \leq 1/6 \\ \in [0, 1] & \text{si } 1/6 \leq x \leq 2/6 \\ = 1 & \text{si } x \geq 2/6, \end{cases}$$



$$\beta(x) \begin{cases} = 0 & \text{si } x \leq 1/6 \quad \text{ou} \quad x \geq 5/6 \\ \in [0, 1] & \text{si } 1/6 \leq x \leq 2/6 \quad \text{ou} \quad 4/6 \leq x \leq 5/6 \\ = 1 & \text{si } 2/6 \leq x \leq 4/6, \end{cases}$$



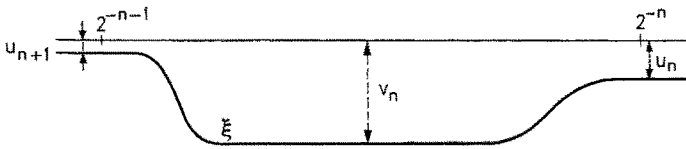
$$\gamma(x) \begin{cases} = 0 & \text{si } |x| \geq 1 \\ \in [0, 1] & \text{si } 1/3 \leq |x| \leq 1 \\ = x^2/2 & \text{si } |x| \leq 1/3. \end{cases}$$



Soient $u_n = 2^{-n^4}$, $v_n = 2^{-n^2}$, $w_n = 2^{-n^3}$.

On définit, si $x \in [2^{-n-1}, 2^{-n}]$ et $n \geq 0$:

$$\xi(x) = -u_{n+1} - (u_n - u_{n+1})\alpha(2^{n+1}x - 1) - (v_n - u_n)\beta(2^{n+1}x - 1).$$



On voit que ξ est C^∞ et ∞ -plate en 0.

On définit ensuite $f = e^\xi$. Alors $f(x) = x - \Delta x$ avec $\lim_{x \rightarrow 0} \Delta x / \xi(x) = -1$.

Soient $a_0 = 1$ et $a_i = f(a_{i-1})$.

Définissons aussi $g = e^{\xi/2}$, et $b_i = g(a_i)$. Alors $a_{i+1} = g(b_i)$.

On a toujours la relation $g'(x) = \xi(g(x)) / \xi(x)$ d'où l'on tire:

$$g''(x) = \frac{\xi(g(x))(\xi'(g(x)) - \xi'(x))}{\xi(x)^2}.$$

La situation présentée par f , g , ξ est «normale». On va perturber f et le transformer en un \tilde{f} qui va servir à définir $\tilde{\xi}$ tel que $\tilde{f} = e^{\tilde{\xi}}$ et $\tilde{g} = e^{\tilde{\xi}/2}$. Du choix de la perturbation de f il résultera que \tilde{g} et a fortiori $\tilde{\xi}$ ne seront pas C^2 en 0.

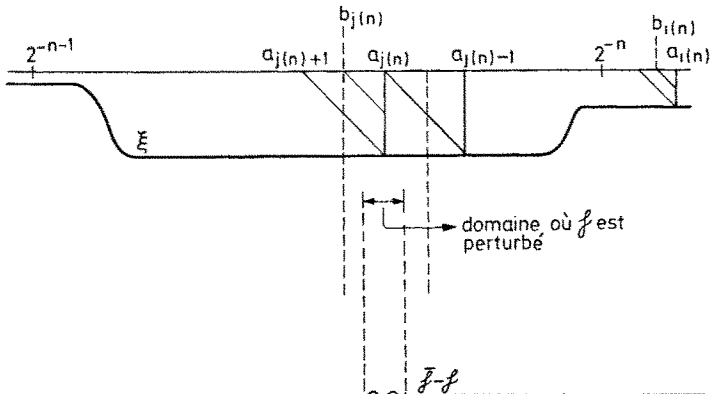
Soit n_0 un entier assez grand. Pour chaque $n \geq n_0$, on choisit des entiers $i(n)$ et $j(n)$ tels que:

$$2^{-n} - \frac{1}{12} 2^{-n-1} \leq a_{i(n)} \leq 2^{-n} + \frac{1}{12} 2^{-n},$$

$$2^{-n-1} + \frac{5}{12} 2^{-n-1} \leq a_{j(n)+1} < a_{j(n)-1} \leq 2^{-n} - \frac{5}{12} 2^{-n-1}.$$

C'est possible si n_0 est assez grand. De même, si n est assez grand, on a $b_{i(n)} = a_{i(n)} - u_n/2$ et $b_{j(n)} = a_{j(n)} - v_n/2$. Définissons maintenant:

$$\tilde{f}(x) = \begin{cases} f(x) + w_n \gamma(4(x - a_{j(n)})/v_n) & \text{si } \exists n \geq n_0 \text{ tel que } |x - a_{j(n)}| \leq v_n/4 \\ f(x) & \text{sinon.} \end{cases}$$



$f^{\bar{r}}$ est aussi un C^∞ -difféomorphisme de source $[0, \varepsilon[$, ∞ -tangent à l'identité en 0. La définition 2.8 définit alors $\bar{\xi}$ qui est de classe C^1 sur $[0, \varepsilon[$ et de classe C^∞ sur $]0, \varepsilon[$. On pose $\bar{g} = e^{\bar{\xi}/2}$.

Comme $\bar{\xi}$, \bar{g} est C^1 sur $[0, \varepsilon[$ et C^∞ sur $]0, \varepsilon[$. On va montrer que \bar{g} n'est pas C^2 en 0. Il en résultera le:

4.1. Théorème. $f^{\bar{r}}$ n'est pas le carré d'un C^∞ -difféomorphisme pour la composition.

Démonstration. Supposons que $f^{\bar{r}} = \bar{h} \circ \bar{h}$ avec \bar{h} de classe C^∞ sur $[0, \varepsilon[$. Alors $f^{\bar{r}}$ commute avec \bar{h} et par le lemme de N. Kopell [2], on en déduit que \bar{h} vérifie l'équation différentielle:

$$\bar{h}'(x) = \bar{K}(\bar{h}(x), x) = \bar{\xi}(\bar{h}(x))/\bar{\xi}(x).$$

L'argument développé en 2.12 prouve alors que $\bar{h} = \bar{g}$.

Naturellement on a le même résultat pour le germe de $f^{\bar{r}}$ en 0, ce qui justifie le titre de ce paragraphe.

Il reste donc à montrer la

4.2. Proposition. \bar{g} n'est pas de classe C^2 en 0.

Démonstration. Notons d'abord que certaines relations sont inchangées dans la situation perturbée

$$\begin{cases} a_{i+1} = f(a_i) = \bar{f}(a_i), & \bar{f}'(a_i) = f'(a_i), \\ \bar{\xi}(a_i) = \xi(a_i). \end{cases}$$

Il n'est peut-être plus vrai que $b_i = \bar{g}(a_i)$, mais par contre, étant donné le support de $\bar{f} - f$, on peut affirmer que $\bar{\xi} = \xi$ dans un voisinage de b_i . En particulier, pour n assez grand,

$$\bar{\xi}(x) = \xi(x) \quad \text{si} \quad |x - b_{i(n)}| \leq u_n/4.$$

Notons $\bar{b}_i = \bar{g}(a_i)$. Comme \bar{g} est de classe C^1 et que $(a_{i+1} - \bar{b}_i)/(\bar{b}_i - a_i)$ tend vers $\bar{g}'(0) = 1$, on déduit que pour n assez grand:

$$|\bar{b}_{i(n)} - b_{i(n)}| \leq u_n/4$$

d'où il résulte que:

$$\begin{aligned} \bar{\xi}(\bar{b}_{i(n)}) &= \xi(\bar{b}_{i(n)}) = u_n \\ \bar{\xi}'(\bar{b}_{i(n)}) &= \xi'(\bar{b}_{i(n)}) = 0. \end{aligned}$$

Par ailleurs si on se souvient que:

$$0 = \xi'(a_{i(n)}) = \sum_{j \geq i(n)} \phi(a_j) \xi(a_j) = \sum_{j \geq i(n)} \phi(a_j) \bar{\xi}(a_j)$$

on trouve que:

$$\begin{aligned} \bar{\xi}'(a_{i(n)}) &= \sum_{j \geq i(n)} \bar{\phi}(a_j) \bar{\xi}'(a_j) = \sum_{j \geq i(n)} (\bar{\phi}(a_j) - \phi(a_j)) \bar{\xi}'(a_j) \\ &= \sum_{m \geq n} (\bar{f}''(a_{j(m)}) - f''(a_{j(m)})) \bar{\xi}'(a_{j(m)}) \\ &= \sum_{m \geq n} \frac{16w_m}{v_m^2} v_m > \frac{16w_n}{v_n}. \end{aligned}$$

Calculons maintenant:

$$\bar{g}'(a_{i(n)}) = \frac{\bar{\xi}(b_{i(n)})}{\bar{\xi}(a_{i(n)})^2} [\bar{\xi}'(b_{i(n)}) - \bar{\xi}'(a_{i(n)})] = -\frac{\bar{\xi}''(a_{i(n)})}{u_n}$$

d'où il résulte que:

$$\bar{g}'(a_{i(n)}) < -\frac{16 w_n}{u_n v_n}.$$

Mais cette dernière quantité tend vers $-\infty$ quand n tend vers l'infini. Ainsi \bar{g}' n'est pas continue en 0.

5. $H_1(G_x) = 0$

5.1. *Abréviation.* On utilise l'abréviation «ITIO» pour «infiniment tangent à l'identité en 0».

5.2. **Théorème.** *Le groupe G_x est parfait, autrement dit G_x est égal à son sous-groupe des commutateurs. Plus précisément, si $\eta \in G_x$, il existe ϕ et $f \in G_x$ tels que*

$$\eta = f\phi f^{-1}\phi^{-1}.$$

Démonstration. On commence par ramener la démonstration de ce théorème à celle d'un résultat assez technique (5.4).

Soit $\eta \in G_x$. On peut trouver un C^∞ -difféomorphisme de $[0, +\infty[$ définissant le germe η à droite de 0. Désormais η désigne un tel difféomorphisme.

Choisissons un champ de vecteurs ξ_2 sur $[0, +\infty[$ tel que $\xi_2(x) = \alpha_2 x^2$ pour un $\alpha_2 > 0$ si x est assez petit, et $\xi_2(x) \in]0, 1]$ si $x > 0$.

Alors ξ_2 engendre un groupe à un paramètre d'éléments de $\text{Diff}^\infty([0, \infty[)$ où figure:

$$f_2(x) = e^{\xi_2(x)} (= x/1 - \alpha_2 x \text{ si } x \text{ est assez petit}).$$

Comme η est ITIO, les séries de Taylor de $f_2^{-1}\eta$ et de f_2^{-1} en 0 sont les mêmes. Par Takens [12], les germes de $f_2^{-1}\eta$ et de f_2^{-1} sont conjugués. Mieux, si on a choisi η à support compact, ce qui est possible, et α_2 assez grand, alors $f_2^{-1}\eta$ et f_2^{-1} sont conjugués sur $[0, \infty[$ par un élément ITIO de $\text{Diff}^\infty([0, \infty[)$. On a donc:

$$f_2^{-1}\eta = \phi_2 f_2^{-1}\phi_2^{-1}$$

ou:

$$\eta = f_2 \phi_2 f_2^{-1}\phi_2^{-1}.$$

Supposons qu'on sache trouver pour tout $n \geq 3$, $f_n, \phi_n \in \text{Diff}^\infty([0, \infty[)$ tels que:

- a) $\eta = f_n \phi_n f_n^{-1} \phi_n^{-1}$,
- b) $f_n^{(i)}(0) = 0$ si $i < n$ et $i \neq 1$,
 $f_n'(0) = 1$,
- c) ϕ_n est ITIO,
- d) $\|f_n - f_{n+1}\|_{n-1} \leq 2^{-n}$, $\|\phi_n - \phi_{n+1}\|_{n-1} \leq 2^{-n}$

où $\|g\|_n$ désigne:

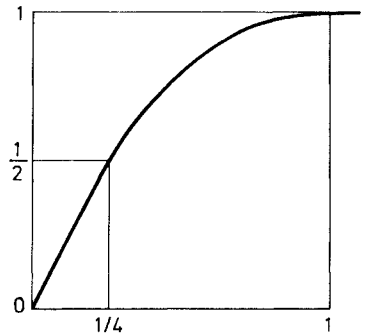
$$\|g\|_n = \sum_{i=0}^n \sup_{0 \leq x \leq 1} |g^{(i)}(x)|.$$

Alors f_n et ϕ_n convergeraient au sens C^∞ vers des C^∞ -difféomorphismes f et ϕ , définis sur $[0, 1]$. Par continuité on aurait $\eta = f\phi f^{-1}\phi^{-1}$ là où le second membre serait défini; par ailleurs f et ϕ seraient ITIO. Le théorème 5.2 serait démontré.

Il reste donc construire f_n et ϕ_n vérifiant a, b, c, d.

On utilise la fonction C^∞ :

$$\beta(x) \begin{cases} = 2x & \text{si } 0 \leq x \leq 1/4 \\ \in [0, 1] & \text{si } 1/4 \leq x \leq 1 \\ = 1 & \text{si } x \geq 1. \end{cases}$$



On va supposer par récurrence que $f_n = e^{\xi_n}$ où $\xi_n(x) = \alpha_n x^n + o(x^n)$ est C^∞ . C'est bien le cas pour $n=2$. On cherche alors $f_{n+1} = e^{\xi_{n+1}}$ où $\xi_{n+1}(x) = \beta(x/\varepsilon) \xi_n(x)$ pour un ε qu'il faudra choisir assez petit. De cette définition, il résulte que $\xi_{n+1}(x) = \alpha_{n+1} x^{n+1} + o(x^{n+1})$ avec $\alpha_{n+1} = 2\alpha_n/\varepsilon$. De plus,

$$\xi_{n+1}^{(i)}(x) = \sum_{j=0}^i C_i^j \varepsilon^{-j} \beta^{(j)}(x/\varepsilon) \xi_n^{(i-j)}(x).$$

De la nullité de $\beta^{(j)}(x/\varepsilon)$ pour $j \geq 1$ et $x \geq \varepsilon$, et de l'équivalence $\xi_n \sim \alpha_n x^n$ quand $x \rightarrow 0$, on déduit:

$$\|\xi_{n+1} - \xi_n\|_i = O(\varepsilon^{n-i})$$

quand $\varepsilon \rightarrow 0$ (même si $i \geq n$).

Les résultats standards concernant la dépendance des solutions d'équations différentielles par rapport aux paramètres permettent d'affirmer que

$$\|f_{n+1} - f_n\|_i = O(\varepsilon^{n-i}).$$

Notons $\hat{f}_n = f_n^{-1} f_{n+1}$ et cherchons ϕ_{n+1} sous la forme $\phi_n \hat{\phi}_n$. La relation $\eta = f_{n+1} \phi_{n+1} f_{n+1}^{-1} \phi_n^{-1}$ s'écrit aussi:

$$f_n \phi_n f_n^{-1} \phi_n^{-1} = f_n \hat{f}_n \phi_n \hat{\phi}_n \hat{f}_n^{-1} f_n^{-1} \hat{\phi}_n^{-1} \phi_n^{-1}$$

ou:

$$\hat{\phi}_n f_n \hat{f}_n \hat{\phi}_n^{-1} = f_n \phi_n^{-1} \hat{f}_n \phi_n.$$

Ainsi l'inconnue $\hat{\phi}_n$ apparaît comme la solution d'un problème de conjugaison entre $f_n \hat{f}_n$ et $f_n \phi_n^{-1} \hat{f}_n \phi_n$.

Observons d'abord que $f_n \hat{f}_n$ et $f_n \phi_n^{-1} \hat{f}_n \phi_n$ ont même série de Taylor en 0, car ϕ_n est ITIO. Comme cette série n'est pas triviale, l'existence de $\hat{\phi}_n$ résulte à nouveau de Takens [12]. Notons ensuite que si $\hat{f}_n = \text{Id}$, alors $f_n \hat{f}_n \phi_n^{-1} \hat{f}_n \phi_n$ et on peut donc choisir $\phi_n = \text{Id}$; si donc \hat{f}_n est petit pour $\|\cdot\|_{n-1}$, alors $f_n \hat{f}_n$ et $f_n \phi_n^{-1} \hat{f}_n \phi_n$ sont proches en $\|\cdot\|_{n-1}$ et on peut prévoir qu'il sera possible de trouver $\hat{\phi}_n$ petit pour $\|\cdot\|_{n-1}$.

En fait $f_n \hat{f}_n$ et $f_n \phi_n^{-1} \hat{f}_n \phi_n$ sont « beaucoup plus proches » qu'on vient de le dire. On a en effet le

5.3. Lemme. *Soient $i, p \in \mathbb{N}$ des entiers quelconques. Alors :*

$$\|f_n \hat{f}_n - f_n \phi_n^{-1} \hat{f}_n \phi_n\|_i = O(\varepsilon^p) \quad (\text{même si } i > n!).$$

Démonstration. Si $x \geq \varepsilon$, alors $\xi_n(x) = \xi_{n+1}(x)$, et donc $f_n(x) = f_{n+1}(x)$, $\hat{f}_n(x) = x$ et enfin $f_n \hat{f}_n(x) = f_n \phi_n^{-1} \hat{f}_n \phi_n(x)$. On peut donc supposer pour démontrer le lemme 5.3 que le domaine de définition est $[0, \varepsilon[$.

Dans ce domaine de définition, on a, puisque ϕ_n est ITIO:

$$\|\phi_n - \text{Id}\|_i = O(\varepsilon^p) \quad \forall i, p.$$

Rappelons-nous que $\|f_n \hat{f}_n - \text{Id}\|_i = O(\varepsilon^{n-i})$; par composition on obtient:

$$\|\hat{f}_n - \hat{f}_n \phi_n\|_i = O(\varepsilon^p) \quad \forall i, p.$$

De même:

$$\|f_n - f_n \phi_n^{-1}\|_i = O(\varepsilon^p) \quad \forall i, p,$$

et à nouveau par composition:

$$\|f_n \hat{f}_n - f_n \phi_n^{-1} \hat{f}_n \phi_n\|_i = O(\varepsilon^p) \quad \forall i, p.$$

Il nous reste donc à prouver la proposition 5.4. Pour l'énoncer plus commodément, on prend de nouvelles notations.

Soit ξ un champ de vecteurs défini sur $[0, +\infty[$, de classe C^∞ , tel que $\xi(x) = \alpha x^n + o(x^n)$ et tel que, si $x > 0$, alors $\xi(x) > 0$. On considère aussi une famille ξ_ε de champs de vecteurs, paramétrée par $\varepsilon \geq 0$ assez petit, et telle que:

$$\text{si } x > 0, \quad \text{alors } \xi_\varepsilon(x) > 0$$

$$\xi_0 = \xi$$

$$\|\xi_\varepsilon - \xi\|_i = O(\varepsilon^{n-i}) \quad \forall i \in \mathbb{N}.$$

$$\exists \alpha' > 0 \text{ tel que } \xi_\varepsilon(x) \geq \alpha' x^{n+1} \text{ pour tout } \varepsilon \text{ et pour tout } x \in [0, 1].$$

La dernière condition est une condition «d'uniforme non ∞ -platitude en 0».

On note $f = e^{\xi}$, $f_\varepsilon = e^{\xi_\varepsilon}$; on a aussi $\|f - f_\varepsilon\|_i = O(\varepsilon^{n-i})$.

Soit ensuite δ_ε une famille de C^∞ -difféomorphismes de $[0, \infty[$, telle que chaque δ_ε soit ITIO, et telle que:

$$\|\delta_\varepsilon - \text{Id}\|_i = O(\varepsilon^p) \quad \forall i, p \in \mathbb{N}.$$

5.4. Proposition. *Il existe une famille ϕ_ε de C^∞ -difféomorphismes de $[0, \infty[$, telle que chaque ϕ_ε soit ITIO, et telle que:*

$$\|\phi_\varepsilon - \text{Id}\|_i = O(\varepsilon^p) \quad \forall i, p \in \mathbb{N}.$$

$$\phi_\varepsilon f_\varepsilon \phi_\varepsilon^{-1} = \delta_\varepsilon f_\varepsilon$$

Le théorème 5.2 résulte de la proposition 5.4; la correspondance est la suivante:

$$\begin{cases} \xi_\varepsilon(x) \rightsquigarrow \beta(x/\varepsilon) \xi_n(x), \\ f_\varepsilon(x) \rightsquigarrow f_{n+1}(x) = (f_n \circ \hat{f}_n)(x), \\ \delta_\varepsilon \rightsquigarrow (f_n \phi_n^{-1} \hat{f}_n \phi_n)(f_n \hat{f}_n)^{-1}, \\ \phi_\varepsilon \rightsquigarrow \hat{\phi}_n. \end{cases}$$

Démonstration de 5.4. Notons F_ε l'intégrale de ξ_ε :

$$\frac{\partial F_\varepsilon}{\partial t}(t, x) = \xi_\varepsilon(F_\varepsilon(t, x)),$$

$$F_\varepsilon(0, x) = x,$$

$$F_\varepsilon(1, x) = f_\varepsilon(x).$$

On définit une fonction τ_ε telle que:

$$F_\varepsilon(\tau_\varepsilon(x), x) = \delta_\varepsilon(x).$$

Il faut prendre:

$$\tau_\varepsilon(x) = \int_x^{\delta_\varepsilon(x)} \frac{dy}{\xi_\varepsilon(y)}$$

d'où l'on tire:

$$\tau'_\varepsilon(x) = \frac{\delta'_\varepsilon(x)}{\xi_\varepsilon(\delta_\varepsilon(x))} - \frac{1}{\xi_\varepsilon(x)} = \frac{(\delta'_\varepsilon - 1) \cdot \xi_\varepsilon + (\xi_\varepsilon - \xi_\varepsilon \circ \delta_\varepsilon)}{\xi_\varepsilon \cdot \xi_\varepsilon \circ \delta_\varepsilon}(x).$$

Comme $\delta_\varepsilon - \text{Id}$ est à «décroissance rapide», que δ_ε est ITIO, et que ξ_ε est «uniformément non ∞ -plat en 0» et «à croissance lente», on obtient:

$$\|\tau_\varepsilon\|_i = O(\varepsilon^p) \quad \forall i, p.$$

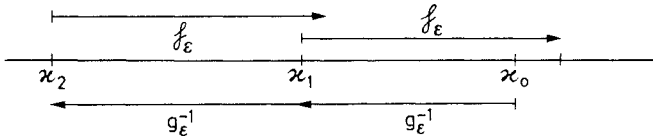
Posons $g_\varepsilon = \delta_\varepsilon f_\varepsilon$ et:

$$\phi_\varepsilon = \lim_{n \rightarrow \infty} g_\varepsilon^n f_\varepsilon^{-n}.$$

Alors, formellement, $\phi_\varepsilon f_\varepsilon = g_\varepsilon \phi_\varepsilon$; ϕ_ε réalise donc la conjugaison entre f_ε et $\delta_\varepsilon f_\varepsilon$. Il reste à voir que ϕ_ε est défini et que $\|\phi_\varepsilon - \text{Id}\|_i = O(\varepsilon^p) \forall i, p$.

Notons $x_{i,\varepsilon} = g_\varepsilon^{-1}(x_{i-1,\varepsilon})$, avec $x_{0,\varepsilon} = x$. Alors:

$$f_\varepsilon g_\varepsilon^{-1}(x) = f_\varepsilon(x_{1,\varepsilon}) = \delta_\varepsilon(x) = F_\varepsilon(\tau_\varepsilon(x), x).$$



Puis:

$$\begin{aligned} f_\epsilon^2 g_\epsilon^{-2} &= F_\epsilon(1, f_\epsilon(x_2)) = F_\epsilon(1, F_\epsilon(\tau_\epsilon(x_1), x_1)) \\ &= F_\epsilon(\tau_\epsilon(x_1) + 1, F_\epsilon(-1 + \tau_\epsilon(x_0), x)) = F_\epsilon(\tau_2(x_0) + \tau_\epsilon(x_1), x) \end{aligned}$$

De même:

$$f_\epsilon^n g_\epsilon^{-n}(x) = F_\epsilon \left(\sum_{i=0}^{n-1} \tau_\epsilon(x_{i,\epsilon}), x \right).$$

Posons donc

$$T_\epsilon(x) = \sum_{i=0}^x \tau_\epsilon(x_{i,\epsilon}).$$

On aura alors

$$\phi_\epsilon^{-1}(x) = F_\epsilon(T_\epsilon(x), x)$$

et il reste seulement à voir que \$T_\epsilon\$ est défini, et que

$$\|T_\epsilon\|_i = O(\epsilon^p) \quad \forall i, p.$$

Notons d'abord que \$\zeta_\epsilon(x) \geq \alpha' x^{n+1}\$. Il en résulte par intégration que

$$f_\epsilon^{-1}(x) \leq \frac{x}{[1 + \alpha' n x^n]^{1/n}}$$

et aussi

$$g_\epsilon^{-1}(x) \leq \frac{x}{[1 + \alpha'' n x^n]^{1/n}}$$

pour une constante \$\alpha''\$ un peu plus petite que \$\alpha'\$. Par itération:

$$x_{i,\epsilon} \leq \frac{x}{[1 + \alpha'' i n x^n]^{1/n}} \sim \frac{1}{[\alpha'' i n]^{1/n}}.$$

Autrement dit \$x_{i,\epsilon}\$ ne tend pas vers zéro de façon infiniment lente; \$x_{i,\epsilon}\$ tend vers zéro aussi vite que \$i^{-1/n}\$.

Soit \$\chi_\epsilon\$ le champ de vecteurs associé à \$g_\epsilon^{-1}\$ par la définition 2.8:

$$\chi_\epsilon(x) = \lim_{i \rightarrow \infty} (x_{i+1,\epsilon} - x_{i,\epsilon}) \prod_{j=0}^{i-1} \frac{1}{(g_\epsilon^{-1})'(x_{j,\epsilon})}.$$

De l'inégalité signalée dans la remarque 3.8, on déduit que pour tout entier \$i\$ il existe des entiers \$q_i, p_i \in \mathbb{Z}\$ tels que

$$|\chi_\epsilon^{(i)}(x)| \leq x^{q_i} \epsilon^{p_i}.$$

La dérivée $q^{\text{ième}}$ de T_ε vérifie une relation qu'on obtient par le même procédé qu'en 3.6:

$$\begin{aligned} & T_\varepsilon^{(q)}(x)[\chi_\varepsilon(x)]^q \\ & + \sum_{l=1}^{q-1} T_\varepsilon^{(l)}(x) \sum_{\alpha_1+\dots+(q-1)\alpha_{q-1}=q-l} E_{\alpha_1,\dots}[\chi'_\varepsilon(x)]^{\alpha_1} \dots [\chi_\varepsilon^{(q-1)}(x)]^{\alpha_{q-1}} [\chi_\varepsilon(x)]^{q-\Sigma\alpha_j} \\ & = \sum_{i \geq 0} \sum_{l=1}^q \tau_\varepsilon^{(l)}(x_i) \sum_{\alpha_1+\dots=q-l} E_{\alpha_1,\dots}[\chi'_\varepsilon(x_i)]^{\alpha_1} \dots [\chi_\varepsilon^{(q-1)}(x_i)]^{\alpha_{q-1}} [\chi_\varepsilon(x_i)]^{q-\Sigma\alpha_j}. \end{aligned}$$

La décroissance rapide de τ_ε l'emporte sur la croissance lente de χ_ε . On montre ainsi par récurrence que $T_\varepsilon^{(q)}$ est à décroissance rapide.

6. Conséquences de $H_1(G_\infty)=0$

On connaît la définition du feuilletage de Reeb de S^3 . Précisons seulement quelques notations. Soient S^1_1 et S^1_2 (respectivement D^2_1 et D^2_2) deux exemplaires de S^1 (resp. D^2). Alors $S^3=(S^1_1 \times D^2_1) \cup (D^2_2 \times S^1_2) / \sim$ où \sim est la relation qui identifie point par point $S^1_1 \times \partial D^2_1$ et $\partial D^2_2 \times S^1_2$. Le tore $T^2=S^1_1 \times \partial D^2_1 = \partial D^2_2 \times S^1_2$ est la seule feuille compacte du feuilletage de Reeb de S^3 . Les autres feuilles sont difféomorphes à \mathbb{R}^2 ; certaines coupent transversalement $S^1_1 \times \{0\}$ et «s'enroulent» le long de $S^1_1 \times \partial D^2_1$ en tournant «presque parallèlement» à S^1_1 . Les autres coupent transversalement $\{0\} \times S^1_2$ et s'enroulent le long de $\partial D^2_2 \times S^1_2$ parallèlement à S^1_2 . L'holonomie le long de T^2 est un homomorphisme de groupes

$$\mathcal{H} : \pi_1(T^2) \rightarrow G$$

où G est le groupe défini dans l'introduction.

Soient p_1 et p_2 deux générateurs standards de $\pi_1(T^2)$. Par exemple p_1 pourrait être représenté par $S^1_1 \times \{y_0\}$ où $y_0 \in \partial D^2_1$, et p_2 par $\{x_0\} \times S^1_2$ où $x_0 \in \partial D^2_2$. L'holonomie \mathcal{H} est définie par $\mathcal{H}(p_1)$ et $\mathcal{H}(p_2)$. La restriction du feuilletage de Reeb à $S^1_1 \times D^2_1$ est à symétrie circulaire autour du centre de D^2_1 . De même pour la restriction à $D^2_2 \times S^1_2$. Il en résulte que, si on oriente convenablement la petite section transverse à T^2 servant à définir \mathcal{H} , les germes de difféomorphismes $\mathcal{H}(p_1)$ et $\mathcal{H}(p_2)$ ont leur support respectif dans $]-\varepsilon, 0]$ et $[0, \varepsilon[$. En particulier $\mathcal{H}(p_1)$ et $\mathcal{H}(p_2)$ sont ITIO (5.1); c'est la raison pour laquelle il n'existe pas de feuilletage de Reeb analytique. Par ailleurs $\mathcal{H}(p_1)$ (resp. $\mathcal{H}(p_2)$) est sans point fixe sur $]-\varepsilon, 0[$ (resp. $]0, \varepsilon[$). Le type d'isomorphisme du feuilletage de Reeb est caractérisé par la classe de conjugaison de $\mathcal{H}(p_1) \circ \mathcal{H}(p_2)$, et aussi par des considérations d'orientation étudiées en détail dans Mizutani [7]. Il faut donc mieux parler *des* feuilletages de Reeb puisque les classes de conjugaison d'éléments de G'_∞ sont très nombreuses.

Notons $g_1 = \mathcal{H}(p_1)$, $g_2 = \mathcal{H}(p_2)$, et $\mathcal{F}(g_1, g_2)$ le feuilletage de Reeb associé. Ce feuilletage est classifié par une application $f: S^3 \rightarrow B\Gamma_1^\infty$ bien définie à homotopie près. On note $\pi_3(g_1, g_2)$ l'élément de $\pi_3(B\Gamma_1^\infty)$ associé, et $H_3(g_1, g_2)$ celui de $H_3(B\Gamma_1^\infty)$ associé à $\pi_3(g_1, g_2)$ par l'homomorphisme de Hurewicz; c'est l'image par $H_3(f)$ de la classe fondamentale de S^3 .

6.1. Théorème. *Quels que soient $g_1, g_2, H_3(g_1, g_2)=0$.*

On va donner deux démonstrations différentes de ce théorème. Au passage on obtiendra d'autres résultats. Avant ces démonstrations, donnons les corollaires:

6.2. Corollaire. *Quels que soient $g_1, g_2, \pi_3(g_1, g_2)=0$.*

Démonstration. On sait que $\pi_1(B\Gamma_1^\infty)=0$ (Haefliger [1]) et que $\pi_2(B\Gamma_1^\infty)=0$ (Mather [4]). L'homomorphisme de Hurewicz $\pi_3(B\Gamma_1^\infty) \rightarrow H_3(B\Gamma_1^\infty)$ est donc un isomorphisme. Naturellement on a noté Γ_1^∞ le groupoïde des germes de C^∞ difféomorphismes orientés.

6.3. Corollaire. *Quels que soient g_1, g_2 , le feuilletage $\mathcal{F}(g_1, g_2)$ de $S^3 = \partial D^4$ se prolonge en une Γ_1^∞ -structure de D^4 .*

C'est une autre façon d'énoncer 6.2.

Pour démontrer le théorème 6.1, on remarque d'abord qu'il résulte du:

6.4. Théorème. *Quels que soient g_1, g_2 , il existe une C^∞ -variété orientable V compacte à bord $\partial V = S^3$, et un C^∞ -feuilletage \mathcal{G} de codimension 1 de V transverse à ∂V et tel que $\mathcal{G} \mid \partial V = \mathcal{F}(g_1, g_2)$.*

Si en effet, σ est une chaîne singulière «fondamentales» de V , i.e. telle que sa classe d'homologie dans $H_4(V, \partial D)$ soit fondamentale, et si $g: V \rightarrow B\Gamma_1^\infty$ classifie \mathcal{G} , alors la 3-chaîne servant à définir $H_3(g_1, g_2)$ est le bord de la 4-chaîne $g \circ \sigma$ de $B\Gamma_1^\infty$; sa classe d'homologie est donc nulle. Il reste à démontrer 6.4.

Démonstration de 6.4. Mizutani [12] a démontré le même résultat, mais après avoir légèrement modifié feuilletage de Reeb. Le feuilletage de Reeb standard, tel qu'on l'a décrit n'a qu'une feuille compacte: un tore. Mizutani remplace ce tore par une famille à un paramètre de tores: $T^2 \times [0, 1]$; son feuilletage a donc une famille continue de feuilles compactes, toutes C^∞ -difféomorphes au tore T^2 . Cela revient à supposer que, par exemple, le support de g_1 est maintenant $]-\varepsilon, -\varepsilon']$ avec $\varepsilon' > 0$; g_1 est l'identité sur un voisinage de 0. Le feuilletage de Reeb étant ainsi modifié. Mizutani construit V et \mathcal{G} comme dans l'énoncé de 6.4.

Notons $\text{Diff}_K^\infty(]0, 1[)$ le groupe des C^∞ -difféomorphismes à support compact de $]0, 1[$ et $\text{Diff}_\infty^\infty([0, 1])$ celui des C^∞ -difféomorphismes de $[0, 1]$ ∞ -tangents à l'identité en 0 et en 1. Mizutani utilise de façon essentielle le

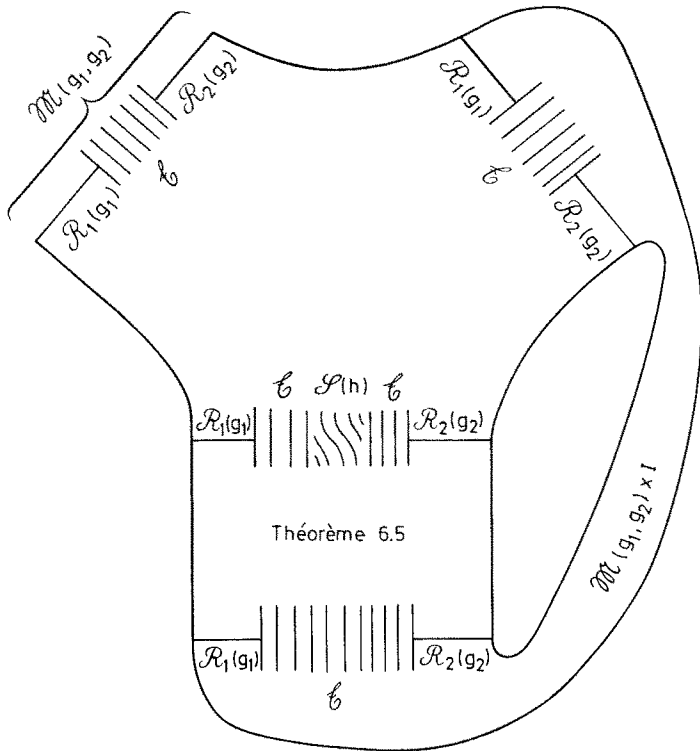
6.5. Théorème (Mather [3]). *Le groupe $\text{Diff}_K^\infty(]0, 1[)$ est parfait.*

Notons $\mathcal{R}_1(g_1)$ la restriction à $S_1^1 \times D_1^2$ de $\mathcal{F}(g_1, g_2)$ (composante de Reeb); de même pour $\mathcal{R}_2(g_2)$. Notons \mathcal{C} le feuilletage trivial de $T^2 \times [0, 1]$ par les $T^2 \times \{t\}$. Notons encore, si $h \in \text{Diff}_\infty^\infty([0, 1])$, $\mathcal{S}(h)$ le feuilletage de $T^2 \times [0, 1]$ défini par l'holonomie globale $\mathcal{H}': \pi_1(T^2) \rightarrow \text{Diff}^\infty([0, 1])$ où $\mathcal{H}'(p_1) = \text{Id}$, $\mathcal{H}'(p_2) = h$. Si h est sans point fixe autre que 0, 1, les deux seules feuilles compactes de $\mathcal{S}(h)$ sont $T^2 \times \{0\}$ et $T^2 \times \{1\}$, les autres feuilles sont des cylindres $S^1 \times \mathbb{R}$. Notons enfin + la réunion disjointe et # la réunion le long d'un bord.

Le feuilletage de Mizutani est

$$\mathcal{M}(g_1, g_2) = \mathcal{R}_1(g_1) \# \mathcal{C} \# \mathcal{R}_2(g_2)$$

Mizutani construit un cobordisme entre $\mathcal{M}(g_1, g_2) + \mathcal{M}(g_1, g_2)$ d'une part, et $\mathcal{R}_1(g_1) \# \mathcal{C} \# \mathcal{S}(h) \# \mathcal{C} \# \mathcal{R}_2(g_2)$ d'autre part, pour un h bien choisi; il utilise ensuite le théorème 6.5 pour construire un cobordisme entre $\mathcal{R}_1(g_1) \# \mathcal{C} \# \mathcal{S}(h) \# \mathcal{C} \# \mathcal{R}_2(g_2)$ et $\mathcal{R}_1(g_1) \# \mathcal{C} \# \mathcal{R}_2(g_2)$. Il en résulte que $\mathcal{M}(g_1, g_2)$ est cobordant à zéro.



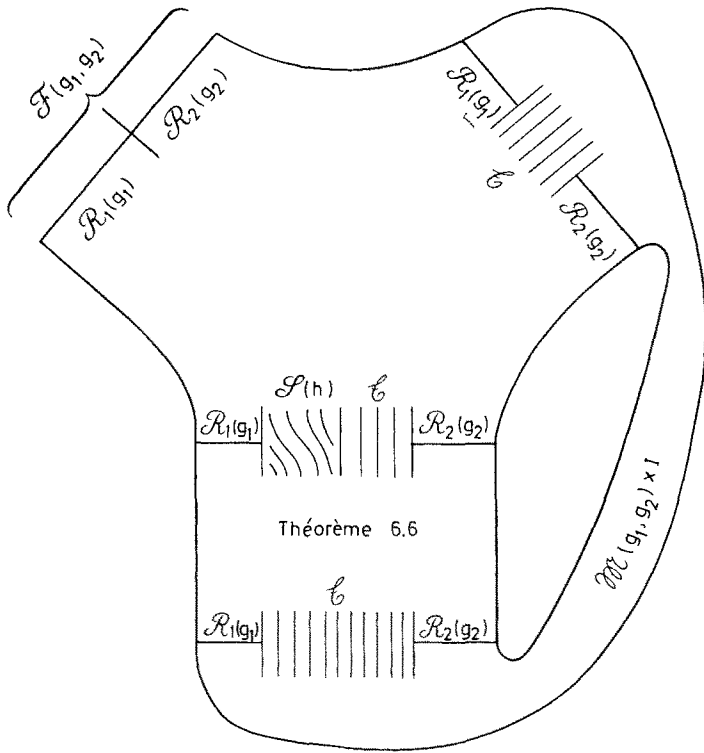
Supposons qu'on sache démontrer le:

Théorème 6.6. $\text{Diff}_\infty^\infty([0, 1])$ est parfait.

Alors on peut faire par la même méthode que Mizutani la construction décrite dans la figure ci-dessous qui prouve que $\mathcal{F}(g_1, g_2)$ est cobordant à zéro.

Démonstration de 6.6. Soit $\eta \in \text{Diff}_\infty^\infty([0, 1])$. D'après le théorème 5.2, on peut trouver f et $\phi \in \text{Diff}_\infty^\infty([0, 1])$ tels que $\eta \circ (f \phi f^{-1} \phi^{-1})^{-1}$ soit l'identité dans un voisinage de 0. De même au voisinage de 1. Il en résulte que, modulo le sous-groupe des commutateurs de $\text{Diff}_\infty^\infty([0, 1])$, η est égal à $\bar{\eta}$ à support compact dans $]0, 1[$; mais, par 6.5, un tel $\bar{\eta}$ est un produit de commutateurs.

On a terminé la première démonstration du théorème 6.1. La deuxième est plus indirecte, mais va peut-être plus au cœur des choses. Soit $\text{Diff}_K^\infty(\mathbb{R})$ le groupe des C^∞ -difféomorphismes de \mathbb{R} à support compact, muni de la topologie discrète. L'homologie d'Eilenberg-Mac Lane de $\text{Diff}_K^\infty(\mathbb{R})$ peut être définie comme celle du complexe (C_q, d) où C_q est le \mathbb{Z} -module libre engendré par $(\text{Diff}_K^\infty(\mathbb{R}))^q$ et $d(g_1, \dots, g_q) = (g_2, \dots, g_q) - (g_1 g_2, \dots, g_q) + \dots + (-1)^q (g_1, \dots, g_{q-1})$.



Si $g_1, g_2 \in \text{Diff}_K^\infty(\mathbb{R})$ commutent, alors $(g_1, g_2) - (g_2, g_1)$ est un 2-cycle dont la classe d'homologie est notée $H_2(g_1, g_2) \in H_2(\text{Diff}_K^\infty(\mathbb{R}))$. En particulier, si g_1 a son support dans $]-\infty, 0]$ et g_2 dans $[0, +\infty[$, alors g_1 et g_2 commutent.

6.7. Théorème. Si support $(g_1) \subset]-\infty, 0]$ et support $(g_2) \subset [0, +\infty[$, alors

$$H_2(g_1, g_2) = 0.$$

Démonstration. Soit D_1 (resp. D_2) le sous-groupe des éléments de $\text{Diff}_K^\infty(\mathbb{R})$ dont le support est dans $]-\infty, 0]$ (resp. $[0, +\infty[$). On a une inclusion canonique $D_1 \times D_2 \subset \text{Diff}_K^\infty(\mathbb{R})$, et $g_1, g_2 \in D_1 \times D_2$. Mieux, $g_1 \in D_1 \times \{e_2\}$, $g_2 \in \{e_1\} \times D_2$ si e_1, e_2 sont les éléments neutres respectifs de D_1 et D_2 . Il suffit de montrer que la classe d'homologie $H_2(g_1, g_2)$ est déjà nulle dans $H_2(D_1 \times D_2)$. Par la formule de Künneth:

$$H_2(D_1 \times D_2) \approx H_2(D_1) \oplus (H_1(D_1) \otimes H_1(D_2)) \oplus H_2(D_2).$$

Dans cet isomorphisme canonique, l'élément $H_2(g_1, g_2)$ est décomposé en trois composantes qu'on peut noter $H_2(g_1, e)$, $H_1(g_1) \otimes H_1(g_2)$, $H_2(e, g_2)$. La première et la troisième sont nulles parce que classes d'homologie de cycles dégénérés. Par ailleurs $H_1(D_1) = H_1(D_2) = 0$ par le même argument qu'en 6.6. On a donc aussi $H_1(g_1) = H_1(g_2) = 0$.

On va expliquer maintenant comment on peut déduire le théorème 6.1 du théorème 6.7.

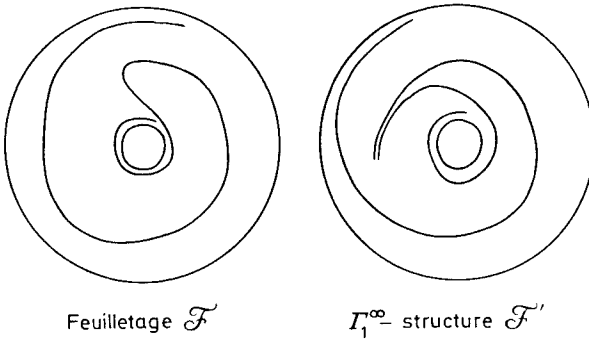
Mather construit dans [4] un isomorphisme

$$S: H_2(\text{Diff}_k^\infty(\mathbb{R})) \xrightarrow{\cong} H_3(B\Gamma_1^\infty).$$

Soient g_1 et g_2 comme en 6.1. Alors les germes g_1 et g_2 sont les germes d'éléments de D_1 et D_2 respectivement. Par abus de notation, on note encore g_1 et g_2 ces éléments. On peut supposer que $|x| \geq 1$ implique $g_1(x) = x$, $g_2(x) = x$, et que g_1 et g_2 sont sans point fixe sur $] -1, 0[$ et $] 0, 1[$ respectivement. Soit

$$\mathcal{H}: \pi_1(T^2) \rightarrow \text{Diff}^\infty[-1, +1]$$

l'homomorphisme de groupes qui envoie p_1 et p_2 sur g_1 et g_2 respectivement. \mathcal{H} est l'holonomie globale d'un feuilletage de $T^2 \times [-1, +1]$. Si $T^2 = S^1 \times S^1$, soit \sim la relation d'équivalence sur $T^2 \times [-1, +1]$ dont les seules classes non triviales sont les $\{\theta_1\} \times S^1 \times \{-1\}$ pour $\theta_1 \in S^1$, et les $S^1 \times \{\theta_2\} \times \{1\}$ pour $\theta_2 \in S^1$. Alors $T^2 \times [-1, +1] / \sim = S^3$. Le feuilletage de $T^2 \times [-1, +1]$ passe au quotient et définit une Γ_1^∞ -structure sur S^3 qu'on note $\mathcal{F}'(g_1, g_2)$ et qui ressemble beaucoup au feuilletage de Reeb $\mathcal{F}(g_1, g_2)$. Les différences sont les suivantes: les feuilles non compactes sont cette fois des cylindres $S^1 \times \mathbb{R}$ qui s'enroulent non seulement le long du tore T^2 , mais aussi le long de l'âme $S^1 \times \{0\}$ ou $\{0\} \times S^1$ de l'un des tores solides $S^1 \times D_1^2$ ou $D_2^2 \times S^1$.



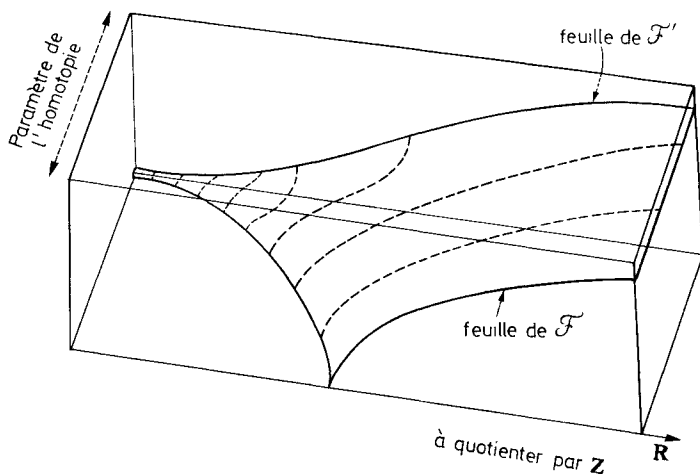
Les deux âmes sont les seules feuilles singulières de $\mathcal{F}'(g_1, g_2)$.
Soit $g: S^3 \rightarrow B\Gamma_1^\infty$ classifiant la Γ_1^∞ -structure $\mathcal{F}'(g_1, g_2)$.

6.8. Lemme. $S(H_2(g_1, g_2)) = H_3(g)([S^3])$ où $[S^3]$ est la classe fondamentale de S^3 .

Démonstration. Elle résulte du fait qu'on a simplement détaillé la construction de Mather [4] de la flèche S quand elle s'applique à $H_2(g_1, g_2)$. Voir [4].

6.9. Lemme. Les Γ_1^∞ -structures \mathcal{F} et \mathcal{F}' sont homotopes.

Démonstration. Méditer la figure:



On déduit du lemme 6.9 que g classe aussi bien la Γ_1^∞ -structure $\mathcal{F}(g_1, g_2)$.
Donc

$$H_3(g_1, g_2) = H_3(g)([S^3]) = S(H_2(g_1, g_2)).$$

Mais, par 6.7, $H_2(g_1, g_2) = 0$.

On a ainsi terminé la deuxième démonstration du théorème 6.1. Il faut remarquer aussi, pour être complet, qu'on peut déduire le théorème 6.4 du corollaire 6.3 en utilisant la théorie de Thurston [13].

Bibliographie

1. Haefliger, A.: Homotopy and integrability. In: Manifolds — Amsterdam 1970. Lecture Notes in Math. **197**. Berlin-Heidelberg-New York: Springer 1971
2. Kopell, N.: Commuting diffeomorphisms. In: Global analysis, Proc. of Symp. in Pure Math., **XIV**, 1970
3. Mather, J.: On Haefliger's classifying space. I. Bull. of the A.M.S. **77**, 1111 — 1115 (1971)
4. Mather, J.: Integrability in codimension one. Comm. Math. Helv. **48**, 195 — 233 (1973)
5. Mather, J.: Commutators of C^r diffeomorphisms of the real line. Preprint, version préliminaire de [6]
6. Mather, J.: Commutators of diffeomorphisms. Comm. Math. Helv. **49**, 512 — 528 (1974)
7. Mizutani, T.: Foliated cobordisms of S^3 and examples of foliated 4-manifolds. Topology **13**, 353 — 362 (1974)
8. Rosenberg, H., Thurston, W.: Some remarks on foliations. In: Dynamical Systems. New York-London: Academic Press 1973
9. Sergeraert, F.: Un théorème de fonctions implicites sur certains espaces de Fréchet et quelques applications. Ann. Sc. de l'E.N.S. de Paris, 4^e série, **5**, 599 — 660 (1972)
10. Sternberg, S.: Local C^n transformations of the real line. Duke Math. J. **24**, 97 — 102 (1957)
11. Szekeres, G.: Regular iteration of real and complex functions. Acta Math. **100**, 203 — 258 (1958)
12. Takens, F.: Normal forms for certain singularities of vectorfields. Ann. Inst. Fourier **23**, 163 — 195 (1973)
13. Thurston, W.: Existence of codimension one foliations. Ann. Math. **104**, 249 — 268 (1976)